

04;07;12

## Взаимодействие СВЧ колебаний с фотоионизированной плазмой полупроводника в двухслойном волноводе

© В.В. Антонов, С.В. Иванов

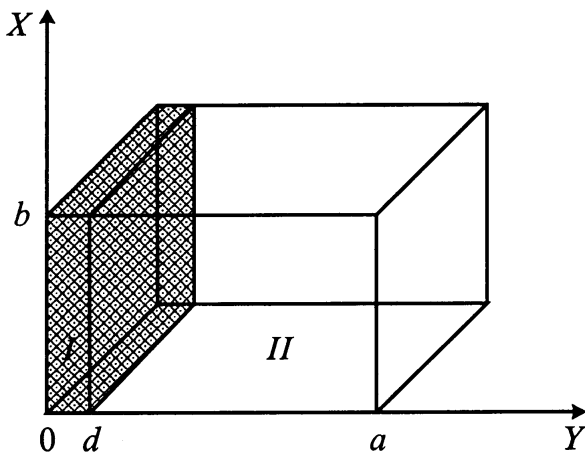
Саратовский государственный технический университет,  
410054 Саратов, Россия

(Поступило в Редакцию 6 апреля 1999 г.)

Проведены теоретические исследования взаимодействия микроволнового электромагнитного излучения с фотоионизированной полупроводниковой плазмой в двухслойном волноводе. Исследовано взаимодействие характерных волновых типов колебаний с фотовозбужденной полупроводниковой плазмой. Получены зависимости коэффициента отражения и фазы СВЧ волны от интенсивности оптического излучения, исследовано влияние поверхности и геометрических размеров полупроводниковых элементов на эти параметры.

Коэффициенты отражения СВЧ излучения от неоднородного полупроводника, расположенного в волноведущей системе, существенно зависит от частоты электромагнитного поля и распределения диэлектрической проницаемости  $\varepsilon(x, y, z, \omega)$  по сечению образца. В проводящей среде диэлектрическая проницаемость определяется концентрацией носителей заряда в каждой точке, так что изменение проводимости полупроводниковой структуры под действием оптического излучения в области плазменного резонанса СВЧ колебаний можно использовать для измерений интенсивности лазерного луча с малой длительностью импульса.

Сравнительно малые размеры поперечного сечения канализирующей системы СВЧ излучения в миллиметровом диапазоне длин волн позволяют использовать для измерения коэффициента отражения колебаний полупроводниковые пластины с толщиной порядка диффузионной длины. В этом случае на процесс распределения концентрации по сечению значительное влияние оказывают состояния поверхностей полупроводника.



**Рис. 1.** Волновод, вдоль узкой стенки которого расположена полупроводниковая пластина. *I* — часть волноводного тракта с полупроводниковой пластиной, *II* — часть волноводного тракта без полупроводника.

Исследование взаимодействия СВЧ излучения с неоднородной фотоионизированной плазмой основано на следующей модели. В волноводе, геометрия которого представлена на рис. 1, вдоль узкой стенки расположена полупроводниковая пластина. Вдоль оси  $z$  распространяется электромагнитная волна частоты  $\omega$ . Так как в технике СВЧ используются стандартные волноводы, рассчитанные на волну основного типа колебаний  $H_{01}$ , то волна в нерегулярной части волноводного тракта *II* будет волной типа  $LE$  [1]. Фотогенерация носителей заряда под действием луча лазера происходит на поверхности  $y = d$ .

Распределения концентраций электронов и дырок по координате  $y$  в пластине полупроводника *I* определим из уравнения баланса носителей заряда:

$$\operatorname{div} \mathbf{j}_{n,p} = \mp e(G - R_{n,p}), \quad (1)$$

где  $G = G_0 e^{\alpha(y-d)}$  — скорость генерации носителей,  $\alpha$  — коэффициент поглощения света в кристалле,  $G_0 = \eta \alpha (I_0 / \hbar \omega_0)$ ,  $\eta$  — квантовый выход,  $\omega_0$  — частота света,  $I_0$  — интенсивность лазерного луча,  $R_n = (n - n_0) / \tau_{\text{rec}}$ ,  $R_p = (p - p_0) / \tau_{\text{rec}}$ ,  $n_0$  и  $p_0$  — равновесные концентрации электронов и дырок,  $\tau_{\text{rec}}$  — время рекомбинации.

В условиях сильной генерации неравновесная концентрация  $n \gg n_0$ ,  $p_0$ , так что  $\delta n = n - n_0 \approx \delta p = p - p_0$  (выполняется условие квазинейтральности в каждой точке образца). Для определения плотностей электронного  $\mathbf{j}_n$  и дырочного  $\mathbf{j}_p$  токов используем уравнение движения в диффузионном приближении

$$\mp e \mathbf{E} - \nu_{n,p} m_{n,p} \mathbf{v}_{n,p} - \frac{kT}{n} \operatorname{grad} n = 0, \quad (2)$$

где  $\nu_{n,p}$  — частоты соударений электронов и дырок с узлами решетки,  $m_{n,p}$  — эффективные массы электронов и дырок.

Подставляя в (1) значения  $\mathbf{j}_{n,p} = \mp e n \mathbf{v}_{n,p}$ , с учетом равенства нулю у проекции суммарного тока получаем уравнение для определения распределения концентрации по оси  $y$

$$D \frac{d^2(\delta n)}{dy^2} - \frac{\delta n}{\tau_{\text{rec}}} + G_0 e^{\alpha(y-d)} = 0, \quad (3)$$

где

$$D = \frac{\mu_n D_n + \mu_p D_p}{\mu_n + \mu_p}$$

— коэффициент биполярной диффузии,  $\mu_n$  и  $\mu_p$  — подвижности электронов и дырок,  $D_n$  и  $D_p$  — коэффициенты диффузии.

Общее решение уравнения (3) представим в виде

$$\delta n = Ae^{\frac{d-y}{L}} + Be^{-\frac{d-y}{L}} + Ce^{-\alpha(d-y)}, \quad (4)$$

где  $L = \sqrt{D \cdot \tau_{\text{rec}}}$ ,  $C = G_0 \tau_{\text{rec}} / (1 - \alpha^2 L^2)$ .

Постоянные интегрирования  $A$  и  $B$  определяем из граничных условий

$$\begin{aligned} j_n(y=0) &= e\delta n(0)S_1, \\ j_n(y=d) &= -e\delta n(d)S_2, \end{aligned} \quad (5)$$

где  $S_1$  и  $S_2$  — скорости поверхностной рекомбинации на гранях  $y=0, d$ .

Вводя обозначения

$$a_0 = -\frac{D}{L} - S, \quad a_1 = \frac{D}{L} - S,$$

$$b_0 = (D\alpha - S)C, \quad b_1 = (D\alpha + S)C,$$

получаем следующие выражения для постоянных  $A$  и  $B$ :

$$A = \frac{b_1 e^{d/L} - b_0 e^{-\alpha d}}{a_0 (e^{-d/L} - e^{d/L})} + \frac{b_1}{a_0}, \quad B = -\frac{b_1 e^{d/L} + b_0 e^{-\alpha d}}{a_1 (e^{-d/L} - e^{d/L})}.$$

Электромагнитное поле до нерегулярного участка волноводного тракта представим в виде суперпозиции падающей волны  $H_{01}$ , отраженной волны того же типа и волн  $H_{0m}$  ( $m \geq 2$ ) высших типов, амплитуда которых убывает по мере удаления от полупроводникового слоя по оси  $z$ . Соответствующие компоненты электрического и магнитного полей определяются выражениями

$$\begin{aligned} E_x^0 &= jk_{z1} \sin(k_{y1}y) (A_4 e^{jk_{z1}z} - A_5 e^{-jk_{z1}z}) \\ &+ j \sum_{m=2}^{\infty} a_m \sin(k_{ym}y) e^{jk_{zm}z}, \\ E_y^0 &= E_z^0 = 0, \quad H_x^0 = 0, \\ H_y^0 &= \frac{k_{z1}^2}{j\omega\mu_0} \sin(k_{y1}y) (A_4 e^{jk_{z1}z} + A_5 e^{-jk_{z1}z}) \\ &+ \sum_{m=2}^{\infty} \frac{a_m k_{zm}}{j\omega\mu_0} \sin(k_{ym}y) e^{jk_{zm}z}, \\ H_z^0 &= \frac{k_{z1} k_{y1}}{\omega\mu_0} \cos(k_{y1}y) (A_4 e^{jk_{z1}z} - A_5 e^{-jk_{z1}z}) \\ &+ \sum_{m=2}^{\infty} a_m \frac{k_{zm} k_{ym}}{\omega\mu_0} \cos(k_{y1}y) e^{jk_{zm}z}, \end{aligned}$$

где  $k_{ym}^2 + k_{zm}^2 = k_0^2$ ,  $k_{ym} = m\pi/a$ ;  $m = 1, 2, \dots, n$ .

Для определения поля в области  $II$  введем электрический векторный потенциал  $\mathbf{F}(0, F, 0)$ , направленный по оси  $y$  ( $LE$ -волны) [2–4]

$$\mathbf{E} = -\text{rot } \mathbf{F}. \quad (6)$$

Векторный потенциал  $\mathbf{F}$  удовлетворяет однородному уравнению Гельмгольца

$$\Delta \mathbf{F} + k^2 \mathbf{F} = 0, \quad (7)$$

где  $k_0^2 = \omega^2 \varepsilon_0 \mu_0$ .

Решение уравнения (7) с граничными условиями  $E_x(y=d) = 0$  определяет структуру поля в следующей форме:

$$E_x^1 = jk_z \sin(k_y(a-y)) (A'_4 e^{jk_{z1}z} - A'_5 e^{-jk_{z1}z}),$$

$$E_y^1 = E_z^1 = 0, \quad H_x^1 = 0,$$

$$H_y^1 = \frac{k_z^2}{j\omega\mu_0} \sin(k_y(a-y)) (A'_4 e^{jk_{z1}z} + A'_5 e^{-jk_{z1}z}),$$

$$H_z^1 = -\frac{k_z k_y}{\omega\mu_0} \cos(k_y(a-y)) (A'_4 e^{jk_{z1}z} - A'_5 e^{-jk_{z1}z}),$$

где  $k_y^2 + k_z^2 = k_0^2$ .

Равенство тангенциальных компонент на границе раздела  $y=d$  позволяет получить из уравнений Максвелла волновое уравнение для определения амплитуды электрической компоненты поля внутри слоя полупроводника

$$\frac{\partial^2 E_x}{\partial y^2} + (k_1^2 - k_z^2 - j\omega\mu_0\sigma) E_x = 0, \quad (8)$$

где  $k_1^2 = \omega^2 \varepsilon_0 \mu_0 \varepsilon_p$ ,  $\varepsilon_p$  — диэлектрическая проницаемость решетки;

$$\sigma = \frac{e^2 (m_p \nu_p + m_n \nu_n + j\omega(m_p + m_n)) n}{m_p m_n (\nu_n + j\omega)(\nu_p + j\omega)}$$

— коэффициент электропроводности электронов и дырок на частоте  $\omega$ ;  $m_p, m_n$  — эффективные массы дырок и электронов;  $\nu_p, \nu_n$  — частоты соударений дырок и электронов с узлами решетки;  $n$  — концентрация носителей заряда в единице объема.

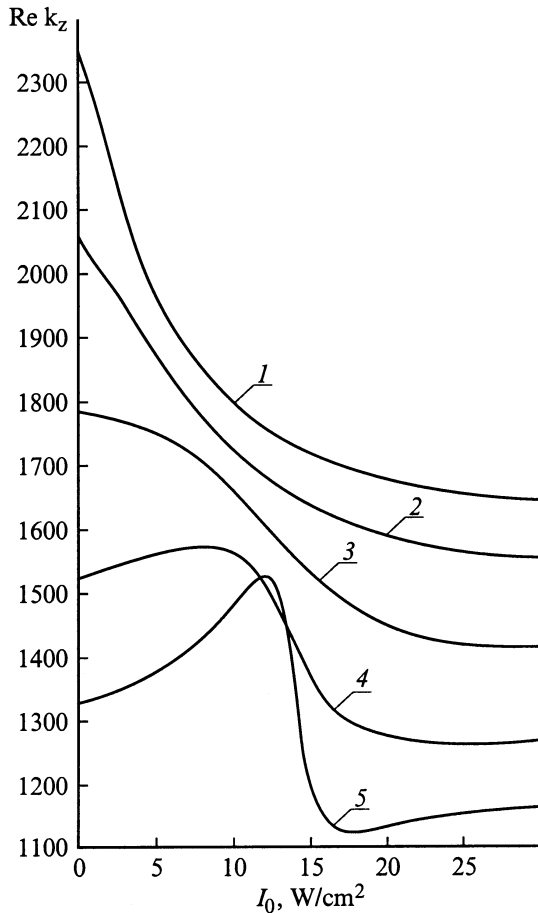
Вводя обозначения

$$\varepsilon = \varepsilon_p - \frac{k_z^2}{\varepsilon_0 \mu_0 \omega^2} - \frac{j\sigma}{j\omega\mu_0}, \quad \psi(y) = \omega \sqrt{\varepsilon_0 \mu_0} \int \sqrt{\varepsilon} dy \quad (9)$$

и применяя метод ВКБ (Венцеля–Крамера–Бриллюэна), получаем решение уравнения (8) в виде

$$E_x = \frac{C_1 e^{j\psi} + C_2 e^{-j\psi}}{\sqrt[4]{\varepsilon}} (F_3 e^{k_z z} - F_4 e^{-k_z z}). \quad (10)$$

На стенке волновода  $y=0$  тангенциальная компонента поля  $E_x(0) = 0$ , что позволяет определить связь между



**Рис. 2.** Зависимости реальной части  $k_z$  от интенсивности света  $I_0$ . При скорости поверхностной рекомбинации  $S = 10 \text{ m/s}$  и при  $d = 400$  (1), 420 (2), 450 (3), 480 (4), 500  $\mu\text{m}$  (5).

постоянными  $C_1$  и  $C_2$ . Электромагнитное поле в этом случае можно выразить в следующем виде:

$$E_x = \frac{\sin(\psi(0) - \psi(y))}{\sqrt[4]{\epsilon}} (F_3 e^{jk_z z} + F_4 e^{-jk_z z}),$$

$$H_y = -\frac{k_z}{\omega \mu_0} \frac{\sin(\psi(0) - \psi(y))}{\sqrt[4]{\epsilon}} (F_3 e^{jk_z z} - F_4 e^{-jk_z z}),$$

$$H_z = -\frac{1}{\omega \mu_0} \left( \frac{\cos(\psi(0) - \psi(d)) \psi'}{\sqrt[4]{\epsilon}} - \frac{\sin(\psi(0) - \psi(d)) \epsilon'}{4\epsilon^{5/4}} \right) (F_3 e^{jk_z z} + F_4 e^{-jk_z z}), \quad (11)$$

где  $\psi' = d\psi/dy$ ,  $\epsilon' = d\epsilon/dy$ .

Из уравнения равенства импедансов на границе образца у  $y = d$

$$\frac{E_x}{H_z} = \frac{E_x^{(1)}}{H_z^{(1)}}$$

следует уравнение для определения постоянной  $k_y$

$$\frac{\text{tg}[k_y(a-d)]}{k_y} = \frac{\text{tg}(\psi(0) - \psi(d))}{\psi'(d) + \text{tg}(\psi(0) - \psi(d))/4\epsilon(d)\epsilon'(d)}. \quad (12)$$

Приравняем тангенциальные компоненты полей на границах  $z = 0, l$  и умножим полученные равенства на  $\sin(\pi/a)y$ , а затем проинтегрируем по переменной  $y$  в пределах от 0 до  $a$ . В результате интегрирования получаем уравнения

$$jk_{z1}(A_4 - A_5) = 2(\psi_1 + \psi_2)(A'_4 - A'_5),$$

$$k_{z1}^2(A_4 + A_5) = 2jk_z(\psi_1 + \psi_2)(A'_4 + A'_5),$$

$$jk_{z1}A_5 e^{-jk_{z1}l} = 2(\psi_1 + \psi_2)(A'_4 e^{jk_{z1}l} - A'_5 e^{-jk_{z1}l}),$$

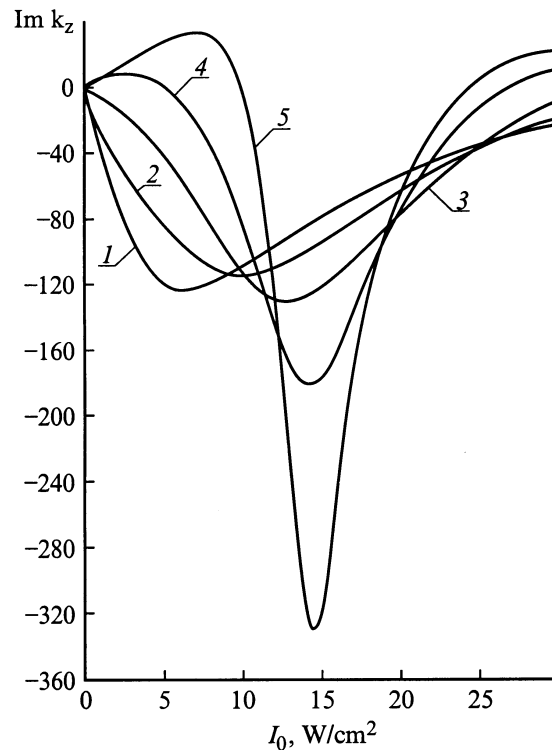
$$k_{z1}^2 A_5 e^{-jk_{z1}l} = -2jk_z(\psi_1 + \psi_2)(A'_4 e^{jk_{z1}l} - A'_5 e^{-jk_{z1}l}), \quad (13)$$

где введены обозначения

$$\int_0^d \frac{\sin(\psi(0) - \psi(y))}{\sqrt[4]{\epsilon}} \sin\left(\frac{\pi}{a}y\right) dy = \psi_1,$$

$$jk_z \int_0^d \sin(k_y(a-y)) \sin\left(\frac{\pi}{a}y\right) dy = \psi_2.$$

Из алгебраической системы уравнений (13) следует следующее выражение для коэффициента отражения



**Рис. 3.** То же, что на рис. 2, для мнимой части  $k_z$ .

волны  $R$  от нерегулярного слоя:

$$R = \frac{A_4}{A_5} = \frac{(k_{z1} + k_z)R_1 + k_z - k_{z1}}{(k_{z1} - k_z)R_1 + k_z + k_{z1}}, \quad (14)$$

где

$$\frac{A'_4}{A'_5} = R_1 = \frac{(k_{z1} - k_z)}{(k_{z1} + k_z)} e^{-2k_z l}$$

— коэффициент отражения СВЧ волны от границы  $z = l$ .

Решение уравнения (12) для реальной  $\text{Re } k_z$  и мнимой  $\text{Im } k_z$  частей  $k_z$  как функций интенсивности  $I$  представлены на рис. 2 и 3. В пределах  $0.48 \leq d \leq 0.5$  мм реализуются минимумы функции  $\text{Re } k_z$ , которые с ростом толщины образца  $d$  становятся более выраженными. Значения интенсивности в точках минимума соответствуют условию плазменного резонанса ( $\omega = \omega_p$ ). С увеличением толщины образца влияние скорости поверхностной рекомбинации уменьшается и максимум концентрации реализуется вблизи поверхности  $y = d$ . Аналогичные зависимости имеет  $\text{Im } k_z$ .

На рис. 4 представлены зависимости модуля коэффициента отражения сверхвысокочастотной волны от интенсивности света  $I$  при различных значениях толщин пластины полупроводника. Полученные зависимости имеют немонотонный характер, причем минимумы  $|R|$  смещаются с ростом  $d$  в сторону больших значений интенсивности. При плазменном резонансе происходит поглощение энергии СВЧ колебаний, в результате которого отражение от слоя возрастает.

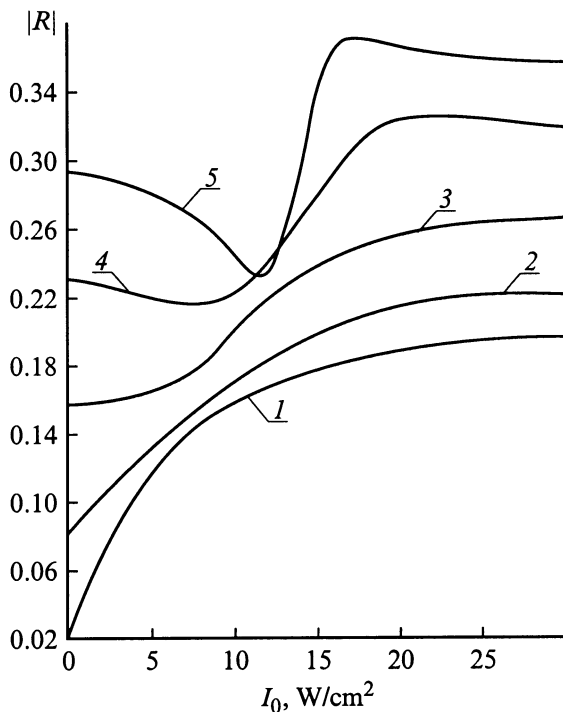


Рис. 4. То же, что на рис. 2, для модуля коэффициента отражения  $|R|$ .

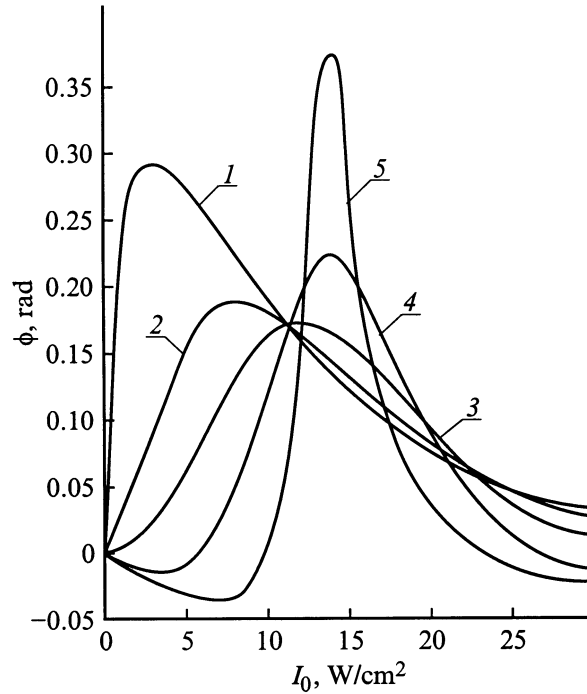


Рис. 5. То же, что на рис. 2, для фазы коэффициента отражения  $\phi$ .

Соответствующие зависимости фазы коэффициента отражения  $\phi$  от интенсивности представлены на рис. 5. Количественные оценки зависимостей  $\text{Re } k_z$ ,  $\text{Im } k_z$ ,  $|R|$ ,  $\phi$  приведены для частоты электромагнитного поля  $\omega = 9.42 \cdot 10^{11}$  Hz и сечения волноводного тракта  $0.8 \times 1.6$  мм. В качестве полупроводниковой вставки использовался CdSe с основными параметрами  $\mu_n = 0.01$  м<sup>2</sup>/(В·с),  $\mu_p = 0.005$  м<sup>2</sup>/(В·с),  $n_0 = 10^5$  м<sup>-3</sup>,  $S = 10$  м/с,  $\tau_{\text{rec}} = 10^{-6}$  с.

В результате теоретических исследований получены зависимости модуля коэффициента отражения и фазы от интенсивности лазерного излучения. Приведенные характеристики определяют возможность использования эффекта взаимодействия СВЧ излучения миллиметрового диапазона с фотоионизированной плазмой для измерений основных параметров лазерных импульсов в инфракрасном и оптическом диапазонах длин волн.

## Список литературы

- [1] Гинзбург В.Л. Распространение электромагнитных волн в плазме. М.: Наука, 1967.
- [2] Егоров Ю.В. Частично заполненные прямоугольные волноводы. М.: Сов. радио, 1967.
- [3] Киреев П.С. Физика полупроводников. М.: Высшая школа, 1975.
- [4] Антонов В.В., Иванов С.В., Царев В.П., Чупис В.Н. // ЖТФ. 1998. Т. 68. Вып. 11. С. 94.